

# I-14 群孔を通過する波動挙動について

広島大学工学部 正員 佐藤 誠

## 1. はじめに

本研究は平面入射波が各種孔、スリット、異種物質等の不連続部分を含む平板内を伝播する場合の動的応答に関するものである。この種の研究については J. Miklowitz<sup>1)</sup> が平面入射波に対する単一円孔の孔周辺の動的挙動と、また C. Sve<sup>2)</sup> が十分に小さい空隙が一様に分布した物体中の波動伝播特性を明らかにしている。

ここでは平面入射波が平板内の円孔群を通過する際の群孔配置等に対する伝播特性について実験的研究を行なった結果を示す。

## 2. 実験方法と模型

図-1 に示すように、平板に対する平面入射波を得るために、ポンプ錐形衝撃により supersonic wave を発生させる走行荷重法を用いた。高速物質には黄銅の角棒を、低速物質にはエボキシ樹脂板を用いた。この場合板内には縦波と横波が同時に発生するか、動光弹性実験結果から得た横波面（黄銅棒に対し 18.5°）に平行に群孔列を設けた。図中の破線は群孔の第 1 列の位置を示す。円孔の直径は 10 mm として、群孔の配置の例を図-2 に示す。円孔を配置するパラメータは円孔中心を正方格子 (P), 千鳥格子 (T), 横波伝播方向の円孔間隔 (m) である。横波面上に並行な孔列の列数とし、それそれを順に並べて配置記号とした。なお下は P を一列毎に伝播方向と直角方向に孔中心を半格子だけ移動したものである。

群孔領域内の空隙率  $P$  を領域面積  $A$  と空隙部分の面積  $B$  の比として  $P = B/A$  と定義すると C. Sve<sup>2)</sup> によると縦波と横波の伝播速度の  $P = 0$  の場合に対する比は図-

3 のように示される。但しこれは円孔が波長に対して十分に小さく、領域全体に一様に分布してい場合のものである。

## 3. 実験結果と考察

測定は動光弹性測定と図-1 に示した測点について直角ロゲットゲージによる動ひずみ測定を行なったが、ここには後者の結果のみを示す。図-4 は黄銅棒内の測点 B1, B2 におけるひずみである。これにより

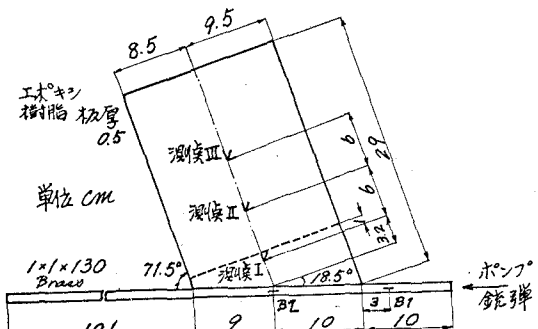


図-1 実験模型

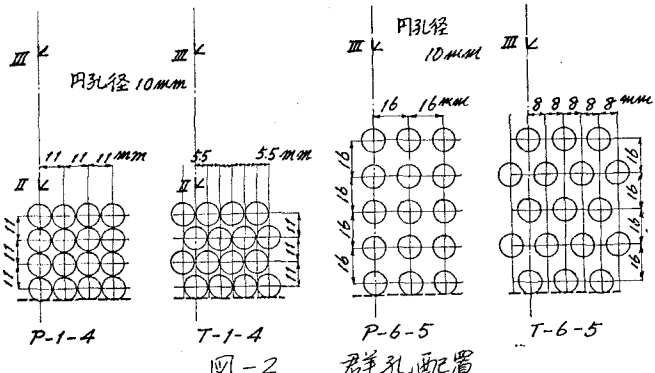


図-2 群孔配置

$$C_{\text{A}0}/C_0 = P = (P, T-1; 0.65, P, T-6; 0.31)$$

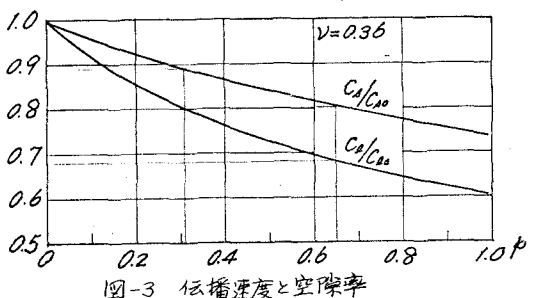


図-3 伝播速度と空隙率

板内には継続時間が約 50 μsec のパルスが入射することにより、無孔板内の縦波と横波の波長はそれぞれ約 10 cm, 5 cm となる。

図-5 は無孔板(ST)と有孔板(P,T)の測定II, IIIにおけるひずみ測定値から求めた主ひずみを示す。ただしSTのみは図中右の縦軸の値である。この表現によると各測点のSTでは入射パルスの形を良く保つ縦波に従って横波が伝播していることがよくわかる。しかし測点IIIの値は測点IIに比較してエポキシ板の内部摩擦によりピーク値が減少している。

$E_2 \cdot 10^{-6}$

P-1-1については、STに比較して特に横波部で激しくパルス形が乱れ、測点IIについては縦波部の  $E_{2\max}$  も時間的にSTの横波部のピークに対応するピークの最大せん断ひずみ  $\gamma_{\max}$  はそれぞれSTの40, 25%となる。P-1-4では測点II, IIIともに横波部ではほとんどその原型をとどめずすに縦波部が著しく平滑化されている。しかも横波部の方がよりピークの減衰が激しい。

P,T-6-5についてはひずみも縦波部ではSTにかなり近い。しかる横波部ではとともにピークの  $\gamma_{\max}$  はSTのはば  $1/2$  であるがその形と時間的位置はPとTとではかなり異なる。横波に対してTは領域全体が一様に作用しピークを遅らせるが、Pはさらに激しく局所的に作用してTより大ききピーク位置を遅延させていると推定される。ここには示さなかつてがP,T-1-4の場合にはPとTとにこのような差ではなく、図-3の結果もほぼ適用できるがP,T-6-5の場合には適用できない。

#### 参考文献

- 1) T. および F.R. Norwood, J. Miklowitz, "Diffraction of transient Elastic Wave by a Spherical Cavity," J. Appl. Mech. 1967, pp. 725~727
- 2) C.S. Yu, "Elastic Wave Propagation in a Porous Laminated Composite," Int. J. Solids Structure, Vol. 9, 1973, pp. 937~950

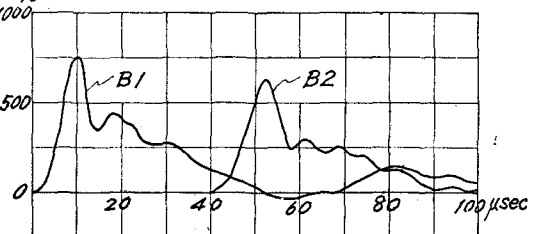
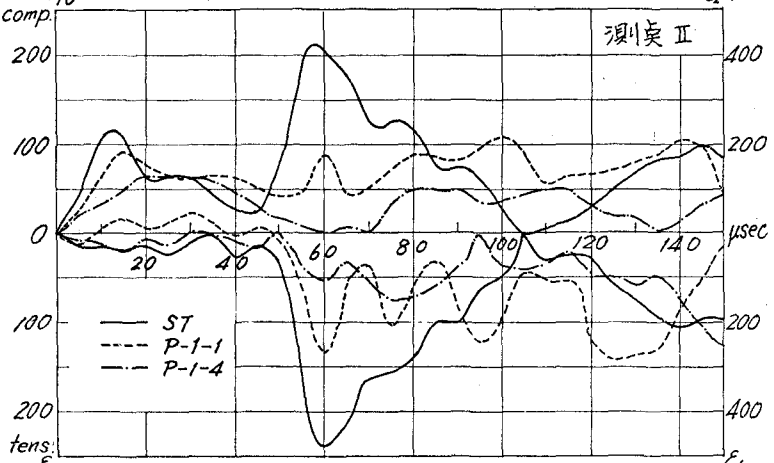


図-4 黄銅棒のひずみ

$ST \text{ or } E_2 \cdot 10^6$

P-1-1については、STに比較して特に横波部で激しくパルス形が乱れ、測点IIについては縦波部の  $E_{2\max}$  も時間的にSTの横波部のピークに対応するピークの最大せん断ひずみ  $\gamma_{\max}$  はそれぞれSTの40, 25%となる。P-1-4では測点II, IIIともに横波部ではほとんどその原型をとどめずすに縦波部が著しく平滑化されている。しかも横波部の方がよりピークの減衰が激しい。

P,T-6-5についてはひずみも縦波部ではSTにかなり近い。しかる横波部ではとともにピークの  $\gamma_{\max}$  はSTのはば  $1/2$  であるがその形と時間的位置はPとTとではかなり異なる。横波に対してTは領域全体が一様に作用しピークを遅らせるが、Pはさらに激しく局所的に作用してTより大ききピーク位置を遅延させていると推定される。ここには示さなかつてがP,T-1-4の場合にはPとTとにこのような差ではなく、図-3の結果もほぼ適用できるがP,T-6-5の場合には適用できない。



$ST \text{ or } E_2 \cdot 10^6$

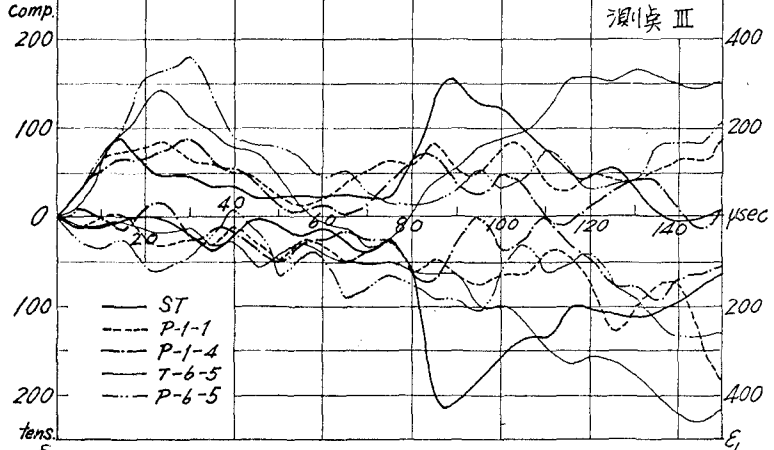


図-5 測定II, IIIの主ひずみ